

Einführung in die Plasmaphysik

Hochfrequenz-geheizte Niedertemperaturplasmen

Wolfgang Suttrop

Max-Planck-Institut für Plasmaphysik

D-85740 Garching

Hochfrequenz-geheizte Niedertemperatur-Plasmen

Wichtige Typen von HF-Plasmen:

- Induktiv gekoppeltes Plasma (ICP)
- Kapazitiv gekoppeltes Plasma (CCP)
- Elektronen-Zyklotronresonanz-Plasma (ECR)



Beispiel: Leybold-Heraeus Z400

Heizung durch Stöße (Gleichstrom-Entladung)

Arbeit an einem Elektron

$$dW_e = \vec{F} \cdot d\vec{x} = -eE dx$$

Leistung auf ein Elektron:

$$P_e = \frac{dW_e}{dt} = -eE \frac{dx}{dt} = -eE v_d = \frac{e^2 E^2}{v_c m_e}$$

Leistung pro Volumen (Leistungsdichte):

$$P = n_e P_e = \frac{n_e e^2 E^2}{v_c m_e}$$

v_c : effektive 90° Stoßfrequenz

Zusammen mit:

(a) Energiedichte des elektrostatischen Feldes:

$$U = \frac{1}{2} \epsilon_0 E^2$$

(b) Plasmafrequenz:

$$\omega_{pe}^2 = \frac{n_e e^2}{\epsilon_0 m_e}$$

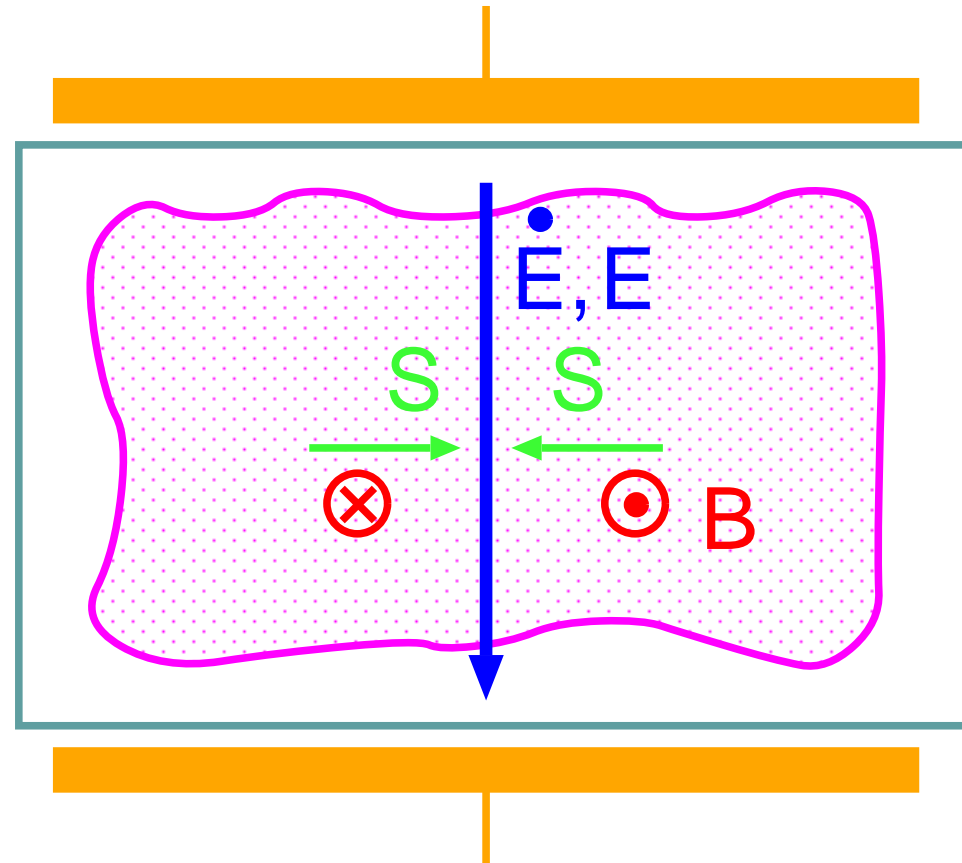
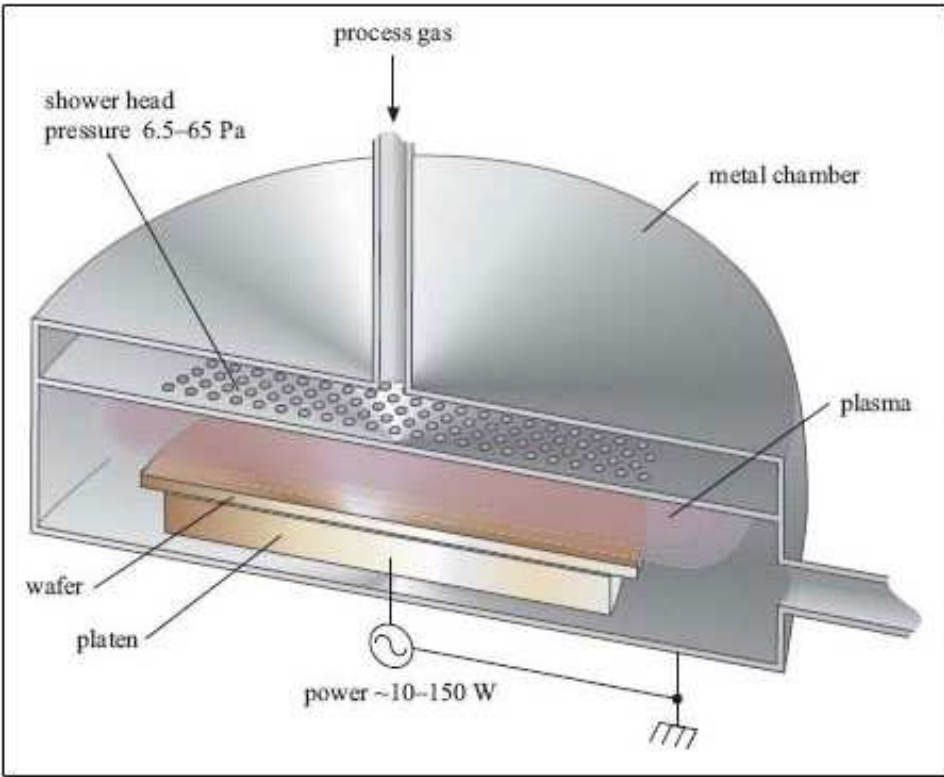
→ Leistungsdichte

$$P = \underbrace{\frac{2\omega_{pe}^2}{v_c}}_{\equiv v_*} U = 2 \frac{\sigma_0}{\epsilon_0} U = v_* U$$

v_* : “Energietransfer-Frequenz”

$\sigma_0 = n_e e^2 / (m_e v_c)$: elektrische Leitfähigkeit

Kapazitiv gekoppeltes HF-Plasma



Quelle: <http://openlearn.open.ac.uk>

Ampère + Ohm:

$$\nabla \times \vec{B} = \mu_0(\vec{j} + \epsilon_0 \dot{\vec{E}}) = \mu_0(\sigma \vec{E} + \epsilon_0 \dot{\vec{E}})$$

Teilchenbewegung im elektrischen Wechselfeld, mit Dämpfung

Sei: $\vec{E} = (E_0, 0, 0) \sin \omega t$

(ewige, unendlich ausgedehnte ebene Welle)

$$m\ddot{x} + m\nu_c \dot{x} = eE_0 \sin \omega t$$

$$m\dot{v}_y + m\nu_c v_y = 0$$

$$m\dot{v}_z + m\nu_c v_z = 0$$

Lösung in y, z-Richtung:

$$v(t) = v_0 \exp(-\nu_c t)$$

Lösung in x-Richtung:

Oszillation mit Phasenverschiebung vs. $E(t)$

$$x = C_1 \sin \omega t + C_2 \cos \omega t$$

in Bwgl. einsetzen \Rightarrow Konstanten

$$C_1 = -\frac{eE_0}{m} \frac{1}{(\omega^2 + \nu_c^2)}, \quad C_2 = -\frac{eE_0}{m} \frac{\nu_c}{\omega(\omega^2 + \nu_c^2)}$$

Ableiten \rightarrow Geschwindigkeit:

$$v_x = \frac{eE_0}{m} \frac{1}{(\omega^2 + \nu_c^2)} \left[\frac{\nu_c}{\omega} \sin \omega t - \cos \omega t \right]$$

Bei endlicher Dämpfung ($\nu_c > 0$) bekommt die Geschwindigkeit einen Anteil in Phase mit dem anliegenden Wechselfeld, das Feld kann Leistung auf das Teilchen übertragen.

Heizung durch Stöße im Wechselfeld

Leistung auf ein Elektron:

$$\begin{aligned}
 P_e &= \frac{dW_e}{dt} = \frac{dW_e}{dx} \frac{dx}{dt} = \\
 &= eE_0\omega \underbrace{[C_1 \sin \omega t \cos \omega t + C_2 \sin^2 \omega t]}_{\text{Zeitmittel}=0}
 \end{aligned}$$

zeitgemittelte Leistung auf *ein* Elektron:

$$P_e = \frac{e^2 E_0^2}{2m} \frac{v_c}{(\omega^2 + v_c^2)}$$

mittlere Energiedichte des el. Wechselfeldes:

$$\langle W_E \rangle = \frac{1}{2\pi} \int_0^{2\pi} \frac{1}{2} \epsilon_0 E^2 \sin^2 \omega t \, d(\omega t) = \frac{1}{4} \epsilon_0 E_0^2$$

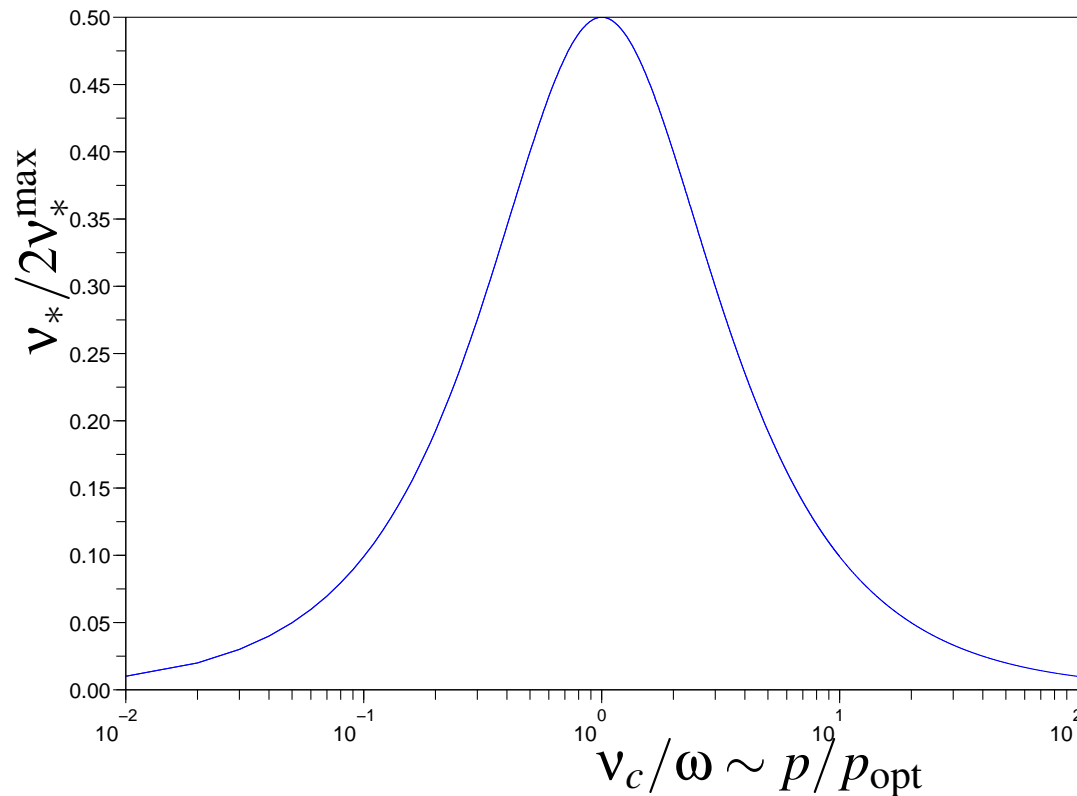
Leistungsdichte, übertragen auf Elektronen:

$$\langle P_E \rangle = \underbrace{\frac{2\omega_{pe}^2 v_c}{(\omega^2 + v_c^2)}}_{\equiv v_*} \langle W_E \rangle = v_* \langle W_E \rangle$$

Stoßfrequenzabhängigkeit des Energietransfers

Der Energieübertrag ist maximal für $\omega = v_c$!

$$v_* = \frac{2\omega_{pe}^2 v_c}{(\omega^2 + v_c^2)}$$



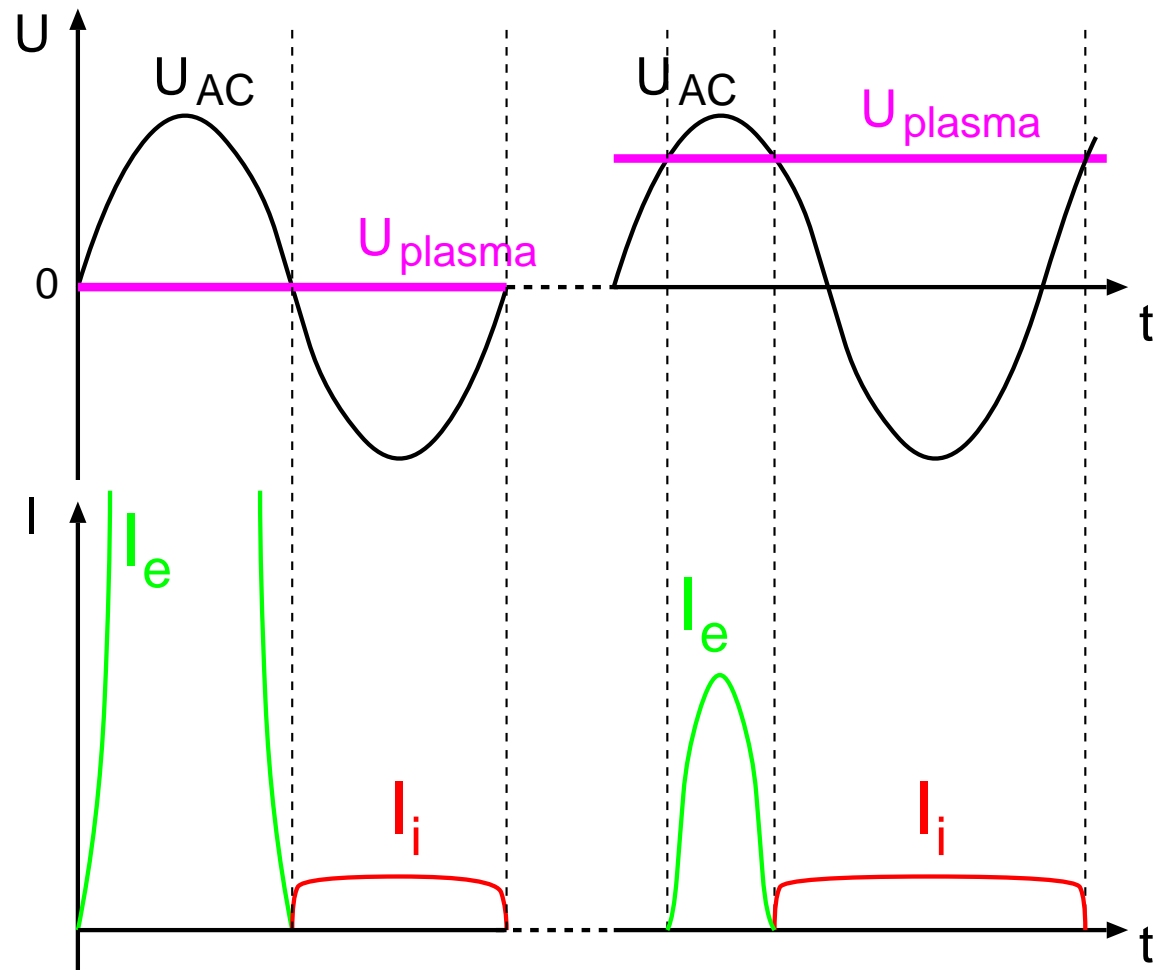
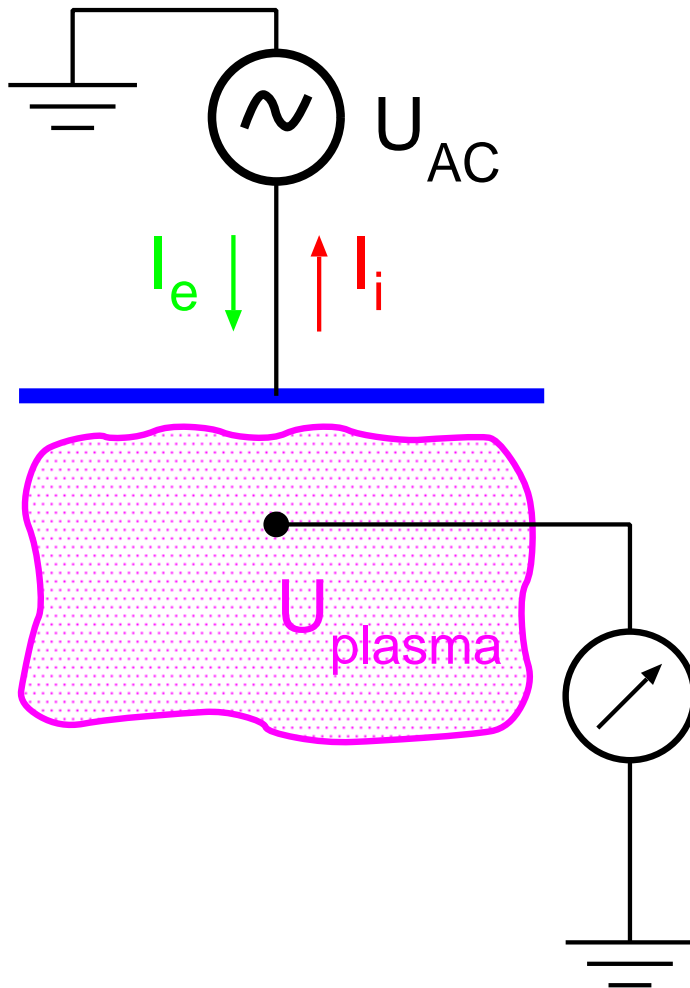
Zahlen-Beispiele:

$k_B T$	~ 10	~ 100	eV
σ	10^{-15}	10^{-14}	cm^2
p_0	0.1	1	Pa
v_c	40	1200	MHz

HF-Randschicht

Aufgrund der unterschiedlichen Ionen- und Elektronen-Beweglichkeiten lädt sich das Plasma bei HF-Einkopplung positiv auf.

Bedingung: (kapazitive Kopplung): $\int \sum I \, dt = 0$



Elektrische Leitfähigkeit im neutralen Plasma

$$n_e \approx n_i, \sigma_e \gg \sigma_i$$

→ Elektronen tragen Strom

$$j_p = (\sigma_e + i\omega\epsilon_0)E_p = \left(\frac{\omega_{p,e}^2 \epsilon_0}{\nu_c} + i\omega\epsilon_0 \right) E_p$$

$$\omega \ll \omega_{p,e}^2 / \nu_c \quad \Rightarrow \quad j_p = \sigma_e E_p$$

Beispiel:

Benutze technische Hochfrequenz $f = 13.56 \text{ MHz}$ ($\omega = 2\pi f = 85 \text{ Mrad/s}$)

$$\text{Sei } n_e = 10^{15} \text{ m}^{-3} \quad \Rightarrow \quad \nu_c \sim 1 \text{ GHz}$$

$$\Rightarrow \omega_{p,e}^2 / \nu_c = 3 \text{ Grad/s} \quad \gg \quad 85.2 \text{ Mrad/s}$$

Im neutralen Plasma bestimmt die Elektronen-Beweglichkeit den elektrischen Widerstand, und der ist i.w. reell.

Elektrische Leitfähigkeit in der Plasma-Randschicht

In der Randschicht: $n_e \rightarrow 0$

\Rightarrow Nur Ionen können (reelle) Leitfähigkeit herstellen.

Für $\omega \gg \omega_{p,i}$ sind Ionen träge
(d.h. tragen nur Gleichstrom)

Beispiel: Ar (kalt), $A = 40$, $n_e = 10^{15} \text{ m}^{-3}$
 $\Rightarrow \omega_{p,i} \sim 6.5 \text{ M rad/s}$; ($Z=1$)

Wohingegen schon für $f = 13.56 \text{ MHz}$:

$$\omega = 2\pi f = 85.2 \text{ M rad/s}$$

Ampère'sches Gesetz:

$$j_s = (\sigma_i + i\omega\epsilon_0)E_s = \left(\frac{\omega_{p,i}^2 \epsilon_0}{\nu_{c,i}} + i\omega\epsilon_0 \right) E_s$$

NF-Fall: $\omega \ll \omega_{p,i}^2 / \nu_{c,i} \Rightarrow j_s = \sigma_i E_s$

HF-Fall: $\omega \gg \omega_{p,i}^2 / \nu_{c,i}$

$$j_s = i\omega\epsilon_0 E_s = i\omega \frac{\epsilon_0}{d_s} V_s = i\omega \frac{C_s}{A_s} V_s$$

(C_s : RS-Kapazität, d_s : RS-Dicke, A_s : Fläche)

n_i	10^{15}	$3 \cdot 10^{17}$	m^{-3}
$\omega_{p,i}$	6.5	112	M rad/s
$\nu_{c,i}$	50	2	MHz
$\omega_{p,i}^2 / \nu_{c,i}$	0.85	1300	M rad/s
$\omega = 85.2 \text{ M rad/s}$	HF-Fall	NF-Fall	

Spannungsabfall über der Randschicht

Widerstandsheizung im Plasma:

$$P_p = R_p \cdot I_p^2 = \frac{I_p^2 d_p}{\sigma_e A_p}$$

Stromkontinuität: $I_s = I_p = I$

$$A_s j_s = A_p j_p = \left(\frac{P_p \sigma_e A_p}{d_p} \right)^{1/2}$$

DC, NF: $\sigma_i E_s A_s = \sigma_e E_p A_p$

$$\Rightarrow \frac{E_s}{E_p} = \frac{\sigma_e A_p}{\sigma_i A_s} \sim O \left(\frac{A_p}{A_s} \sqrt{\frac{m_i}{m_e}} \right)$$

HF: $\epsilon_0 i \omega E_s A_s = \sigma_e E_p A_p$

$$\Rightarrow \frac{|E_s|}{E_p} = \frac{\sigma_e}{\epsilon_0 \omega} \frac{A_p}{A_s} = \frac{\omega_{p,e}^2}{v_c \omega} \frac{A_p}{A_s}$$

Spannungsabfall:

$$U_s = E_s \cdot d_s \propto \frac{I}{A_s} \propto \frac{\sqrt{P_p}}{A_s}$$

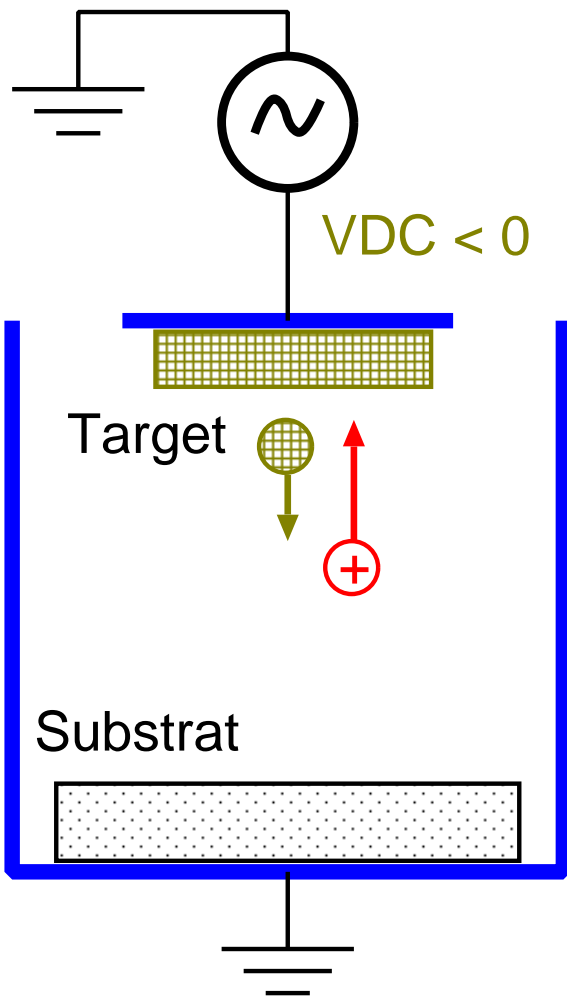
N.B. Vereinfachtes Modell!

Experimentell: $U_s \propto A_s^{-n}$ ($n \geq 1$)

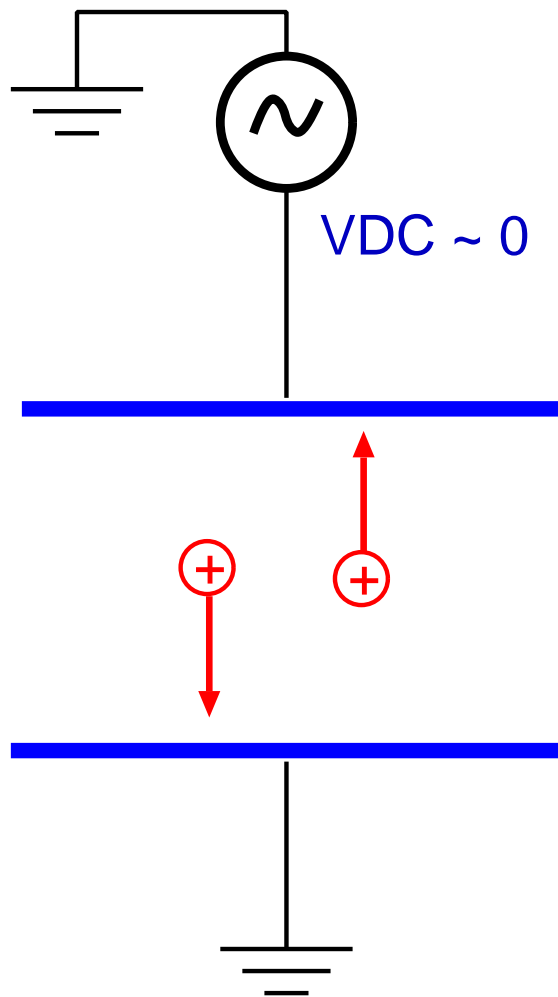
Generell: Je kleiner die Elektrodenfläche,
desto größer die abfallende
Randschichtspannung!

\Rightarrow “Self-bias” bei asymmetrischen
Elektroden.

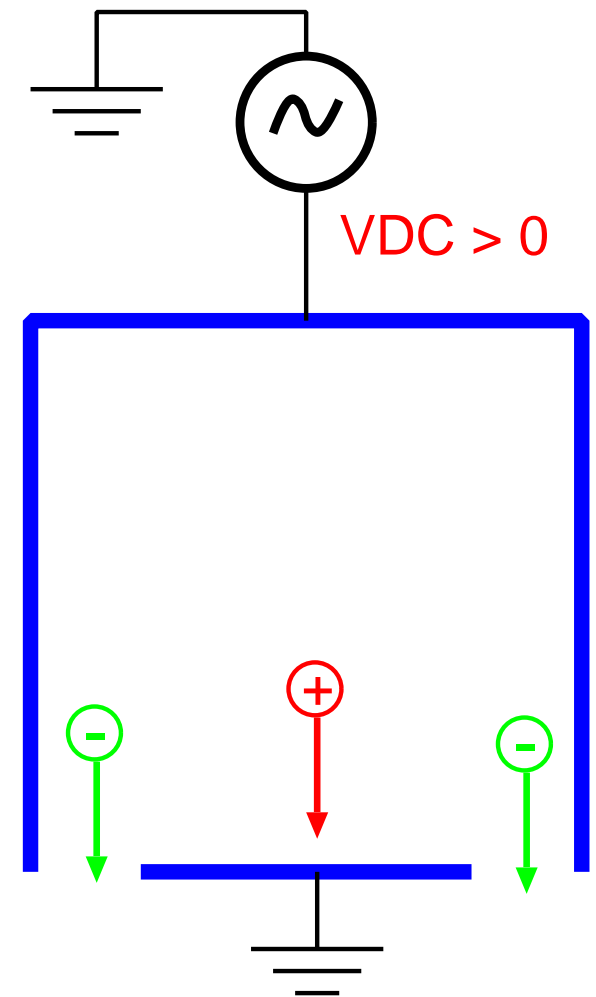
Anwendungen CCP



Zerstäuben und Beschichten

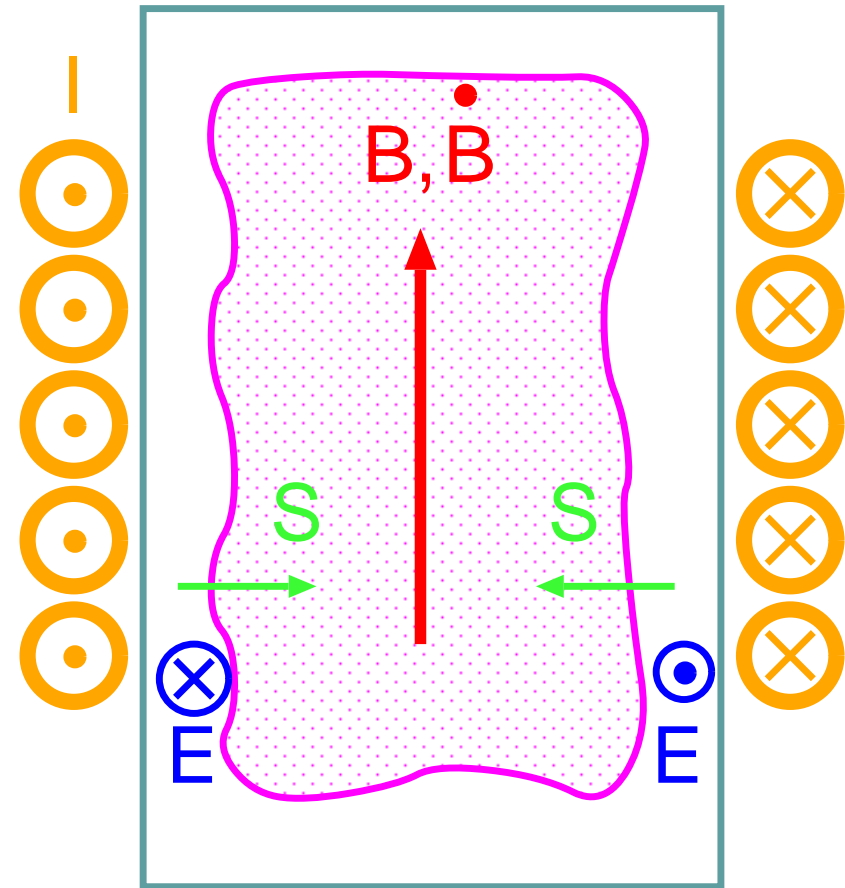
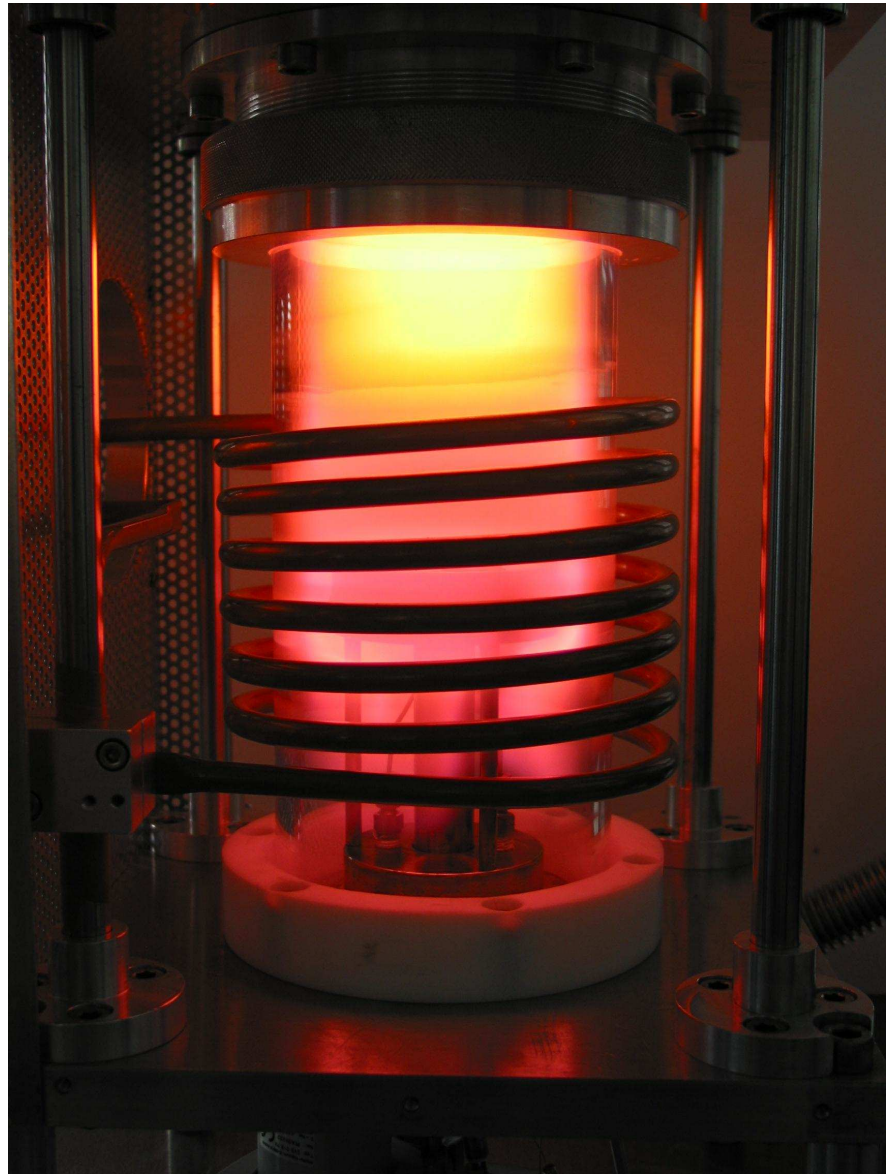


(Reaktives) Ätzen



Hohlkathoden-Elektronenquelle

Induktiv gekoppeltes HF-Plasma



Faraday: $\nabla \times \vec{E} = -\dot{\vec{B}}$

Eindringtiefe des Wechselfeldes

Wellengleichung im Plasma:

$$-\nabla \times (\nabla \times \vec{E}) = \mu_0 \dot{\vec{j}} + \mu_0 \epsilon_0 \ddot{\vec{E}}$$

wobei $\vec{j} = \sigma \vec{E}$ (s.o.)

Ansatz (Ausbreitung in z -Richtung):

$$\vec{E} = \vec{E}_0 \exp[i (k \cdot z - \omega t)]$$

Def. $\vec{k} = (0, 0, k)$, $k = \alpha + i/\delta$,

α : Wellenzahl,

δ : Eindringtiefe (*skin depth*)

$$k^2 = i\omega\mu_0\sigma - \omega^2\mu_0\epsilon_0 = i\frac{\omega\sigma}{c^2\epsilon_0} - \frac{\omega^2}{c^2}$$

Re(k):

$$\alpha = \sqrt{\frac{\sigma\mu_0\omega}{2}} \left[\frac{\omega\epsilon_0}{\sigma} + \sqrt{1 + \left(\frac{\omega\epsilon_0}{\sigma}\right)^2} \right]^{1/2}$$

Im(k):

$$\frac{1}{\delta} = \sqrt{\frac{\sigma\mu_0\omega}{2}} \left[-\frac{\omega\epsilon_0}{\sigma} + \sqrt{1 + \left(\frac{\omega\epsilon_0}{\sigma}\right)^2} \right]^{1/2}$$

$\omega \epsilon_0 \ll \sigma$:

$$\frac{1}{\delta} \approx \sqrt{\frac{\sigma\mu_0\omega}{2}}$$

Elektron-Zyklotron-Resonanz-Plasma

Im magnetisierten Plasma wird HF an Resonanzen absorbiert.

Heizung erfolgt nahe der
Elektronen-Zyklotron-Resonanz:

$$\omega = \omega_{c,e} = \frac{eB}{m_e}$$

Technisch gebräuchlich:

$B_0 = 87.5 \text{ mT}$ (Helmholtz-Spulenpaar)

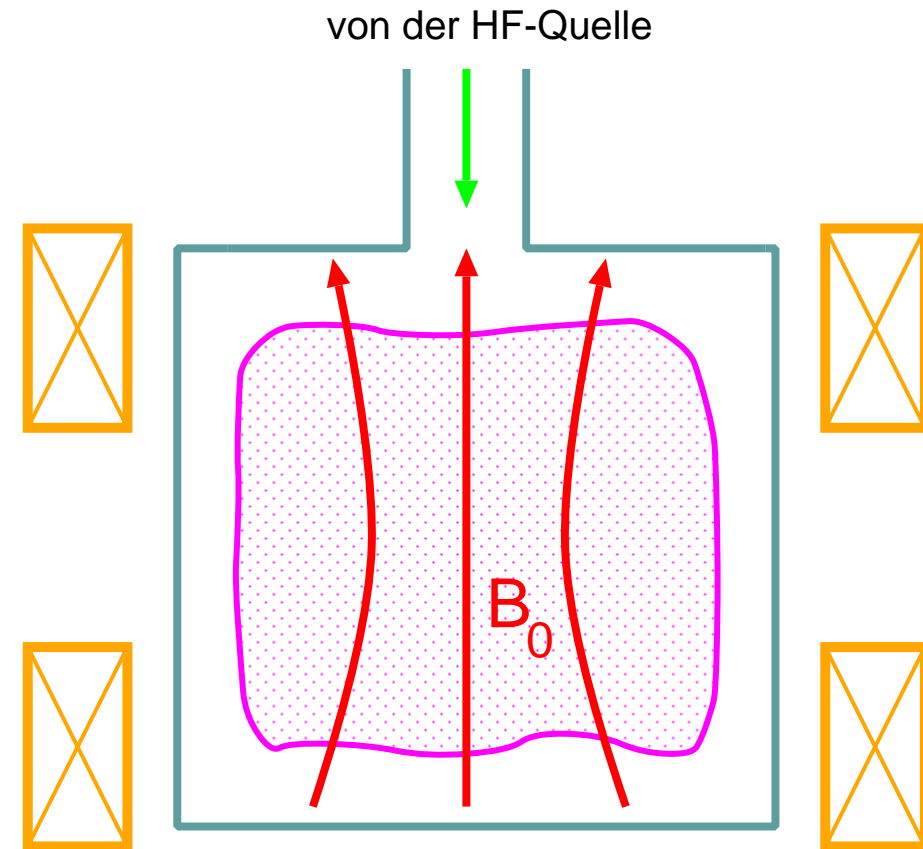
$\Rightarrow f_{c,e} = \omega_{c,e}/2\pi = 2.45 \text{ GHz}$ (Magnetron)

Vorteile:

— $\omega_{c,e} \gg \omega_{p,e}, \nu_c$ möglich,

Welle dringt in das Plasmaminnere ein und wird
doch gut absorbiert

— Ort der Heizung wird durch Verlauf von \vec{B}
eingestellt: Homogene Heizung möglich



Zyklotron-Resonanz

Bewegungsgleichung Elektron

$$m \frac{d\vec{v}}{dt} = -e \left(\vec{E} + \vec{v} \times \vec{B} \right) - m\mathbf{v}_c (\vec{v} - \vec{u})$$

Elektrisches Wechselfeld $\vec{E} = (E_0, 0, 0) \sin \omega t$,
 Statisches Magnetfeld $\vec{B}_0 = (0, 0, B_0)$.

Ansatz in x und y -Richtung:

$$x = C_1 \sin \omega t + C_2 \cos \omega t$$

$$y = C_3 \sin \omega t + C_4 \cos \omega t$$

Einsetzen ergibt die Konstanten:

$$m\ddot{x} + m\mathbf{v}_c \dot{x} + eB_0 \dot{y} = -eE_0 \sin \omega t$$

$$m\ddot{y} + m\mathbf{v}_c \dot{y} - eB_0 \dot{x} = 0$$

$$m\dot{v}_z + m\mathbf{v}_c v_z = 0$$

$$C_1 = -\frac{eE_0}{2m\omega} \left[\frac{(\omega + \mathbf{v}_c)}{(\omega^2 + \omega_c^2) + \mathbf{v}_c^2} + \frac{(\omega - \mathbf{v}_c)}{(\omega^2 - \omega_c^2) + \mathbf{v}_c^2} \right]$$

$$C_2 = -\frac{\mathbf{v}_c eE_0}{2m\omega} \left[\frac{1}{(\omega^2 + \omega_c^2) + \mathbf{v}_c^2} + \frac{1}{(\omega^2 - \omega_c^2) + \mathbf{v}_c^2} \right]$$

$$C_3 = \frac{\omega_c (C_1 \mathbf{v}_c + C_2 \omega)}{(\omega^2 + \mathbf{v}_c^2)}$$

$$C_4 = -\frac{\omega_c (C_1 \omega - C_2 \mathbf{v}_c)}{(\omega^2 + \mathbf{v}_c^2)}$$

Lösung in z -Richtung:

$$v_z(t) = v_{0,z} \exp(-\mathbf{v}_c t)$$

Def. “Zyklotronfrequenz”:

$$\omega_c \equiv \frac{eB}{m}$$

Nenner $\omega^2 - \omega_c^2 \rightarrow 0$ für $\omega = \omega_c$!

\Rightarrow *Resonanz*, gedämpft durch Stöße.

Absorbierte Leistung

Leistung auf ein Elektron (x -Richtung):

$$P_e = \frac{dW_e}{dt} = \frac{dW_e}{dx} \frac{dx}{dt} = eE_0\omega [C_1 \sin\omega t \cos\omega t + C_2 \sin^2\omega t]$$

zeitgemittelte Leistung auf ein Elektron:

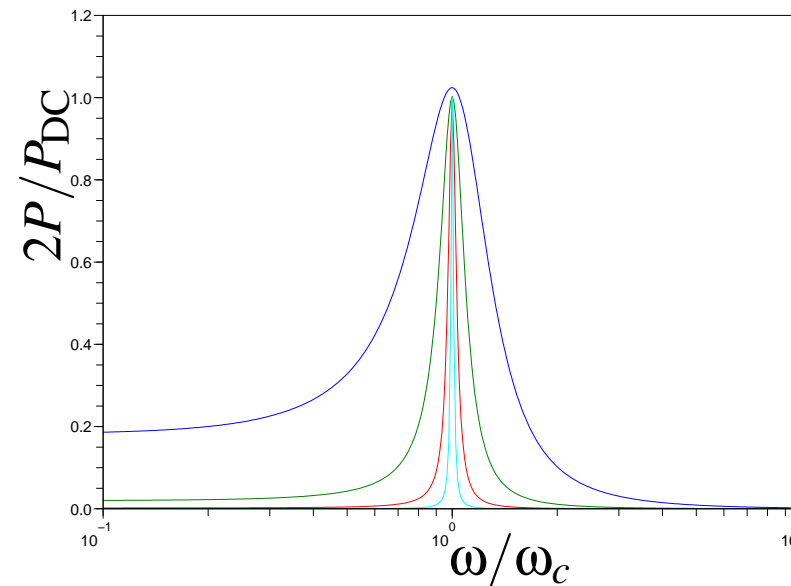
$$\langle P_e \rangle = \frac{e^2 C_2 E_0^2}{2} = \frac{v_c e^2 E_0^2}{4m} \times \left[\frac{1}{(\omega^2 + \omega_c^2) + v_c^2} + \frac{1}{(\omega^2 - \omega_c^2) + v_c^2} \right]$$

Mit $W_E = \varepsilon_0 E_0^2 / 4$, Leistungsdichte :

$$\langle P \rangle = \langle W_E \rangle \omega_{p,e}^2 v_c \left[\frac{1}{(\omega^2 + \omega_c^2) + v_c^2} + \frac{1}{(\omega^2 - \omega_c^2) + v_c^2} \right]$$

Absorbierte Leistung:

$$(v_c^2 = 0.0001, 0.001, 0.01, 0.1 \times \omega_c^2)$$



Max. Leistung bei $\omega = \omega_c$:

$$\langle P \rangle_{\max} \approx \frac{\langle W_E \rangle \omega_{p,e}^2}{v_c} = \frac{1}{2} P_{\text{DC}}$$

Zusammenfassung

- Niedertemperatur-Entladungen (DC wie HF) werden durch Stöße der Ladungsträger geheizt.
- Vorwiegend stoßen Elektronen mit Neutralen (Anregung, Ionisation), bei niedrigem Druck und sehr niedriger Elektronentemperatur tragen auch Coulomb-Stöße der Ladungsträger untereinander bei.
- Energieübertragungsfrequenz ν_* : Rate mit der die elektrische Feldenergie in kinetische Energie umgewandelt wird.
- $B = 0$: Die Hochfrequenz kann kapazitiv (CCP) oder induktiv (ICP) eingekoppelt werden. ν_* ist maximal bei $\omega = \nu_c$. Frequenzen unterhalb der Plasmafrequenz (Normalfall) dringen nur bis zur Skin-Tiefe in das Plasma ein (Heizung nur am Rand).
- Durch HF-Ströme baut sich eine Plasmarandschicht auf. Der Spannungsabfall steigt mit der Heizleistung und sinkt mit steigender Elektrodenoberfläche. Dies wird technisch genutzt, um die Bereiche mit Ionenbeschleunigung auf die gewünschten Flächen zu richten.
- $B \neq 0$: Die Hochfrequenz wird an der Zyklotronresonanz $\omega_c = eB/m_e$ absorbiert (ECR). ν_* ist um $\omega = \omega_c \pm \nu_c$ maximal. Die Heizleistungsdeposition kann ($\omega_c > \omega_{p,e}$) durch die Feldverteilung eingestellt werden, z.B. zentral im Plasma.